

# الگوی رخداد کانه‌زایی مس طبیعی در سنگ‌های آتشفسانی میزبان کانسار سولفید توده‌ای آتشفسان زاد مس- نقره گرماب پایین، جنوب شرق شهرود

مجید طاشی<sup>۱</sup>، فردین موسیوند<sup>۲\*</sup> و حبیب الله قاسمی<sup>۳</sup>

۱. کارشناس ارشد زمین‌شناسی اقتصادی، دانشگاه صنعتی شهرود
۲. استادیار زمین‌شناسی اقتصادی، عضو هیئت علمی دانشگاه صنعتی شهرود
۳. استاد پetroloژی، عضو هیئت علمی دانشگاه صنعتی شهرود

تاریخ دریافت: ۹۴/۰۹/۲۸

تاریخ پذیرش: ۹۵/۰۱/۳۰

## چکیده

کانسار سولفید توده‌ای آتشفسان زاد مس- نقره گرماب پایین در ۲۹۰ کیلومتری جنوب شرق شهرود واقع شده و در توالی آتشفسانی- رسوبی کرتاسه پسین، در زیر پهنه سبزوار، شمال شرق ایران رخ داده است. کانه‌زایی مس طبیعی در واحدهای سنگی آندزی بازالت با بافت بادامکی، تراکی آندزیت و برش‌های آتشفسانی میزبان کانسار گرماب پایین با سن کرتاسه پسین و کنگلومراهای پالئوسن به صورت رگه- رگه‌های و دانه پراکنده دیده می‌شود. مطالعات ژئوشیمیابی نشان می‌دهد که این سنگ‌های آتشفسانی دارای ترکیب بازالتی و ماهیت کالک آلکالن بوده و در محیط پشت کمانی نهشته شده‌اند. دگرسانی عمدۀ همراه کانه‌زایی از نوع کلریتی و به مقدار کمتر زئولیتی است. بررسی‌های صورت گرفته نشان می‌دهند فرایند دیاژنز، تدفین و بالآمدگی در توالی آتشفسانی- رسوبی میزبان کانه‌زایی سبب ایجاد و حرکت سیال‌های نسبتاً داغ شور شده که این سیال‌ها مس را از سنگ‌های آتشفسانی کرتاسه پسین شسته و تحت شرایط احیایی به صورت مس طبیعی در واحدهای آندزی بازالتی و برش آتشفسانی و کنگلومراهای پالئوسن تهنشست داده است. با توجه به نوع سنگ‌های میزبان، کانی‌شناسی و دگرسانی، کانه‌زایی مس طبیعی در کانسار گرماب پایین بیشترین شباهت را با کانه‌زایی مس طبیعی مرتبط با سنگ‌های بازالتی (تیپ میشیگان) نشان می‌دهد. این رخداد بعد از تشکیل کانسار سولفید توده‌ای گرماب پایین و در طی دیاژنز، دگرگونی دفنی و بالا آمدگی توالی سنگی در برگیرنده، رخداده است.

واژه‌های کلیدی: گرماب پایین، سولفید توده‌ای، تیپ میشیگان، مس طبیعی، کانه‌زایی.

غیرمعمول است (Wang et al., 2006). این ذخایر تنها

در برخی نقاط دنیا مانند ایران، بولیوی، چین، شیلی و دریاچه سوپریور در ایالات متحده آمریکا مشاهده شده‌اند (Guilbert and Park, 1986)

## مقدمه

ذخایر مس طبیعی بسیار کم و بهندرت تشکیل می‌شوند، زیرا وجود محلول‌های گرمابی فقیر از گوگرد

\* نویسنده مرتبط: mousivand@shahroodut.ac.ir

کانسار و تعیین تیپ کانه‌زایی مس طبیعی در کانسار گرماب پایین براساس مطالعات صحرایی و آزمایشگاهی می‌باشد.

### روش مطالعه

مطالعات دقیق صورت گرفته بر روی پنج مغزه حفاری (در مجموع ۳۲۰ متر مغزه حفاری) در کانسار گرماب پایین نشان می‌دهد که در عمق‌های مشخصی کانه‌زایی مس طبیعی رخ داده است. در ادامه جهت پی بردن به چگونگی رخداد این کانه‌زایی، تعداد ۸۰ نمونه به صورت منظم از این مغزه‌ها برداشت شد، که از این تعداد، ۱۲ مقطع نازک-صیقلی و چهار مقطع صیقلی برای مطالعه تهیه شد. جهت مطالعات زئوشیمیایی نیز اقدام به تجزیه دو نمونه به روش پراش اشعه ایکس<sup>۱</sup> (جدول ۱)، تجزیه چهار نمونه به روش فلورسانس اشعه ایکس<sup>۲</sup> (جدول ۲) و تجزیه چهار نمونه به روش طیفسنج نوری جفت پلاسمای القاشده<sup>۳</sup> (جدول ۳) با حمایت سازمان توسعه و نوسازی معادن و صنایع معدنی ایران (ایمیدرو) در آزمایشگاه‌های مرکز تحقیقات و فرآوری مواد معدنی ایران شد. همچنین در این مقاله از داده‌های رژیو شیمیایی شرکت زمین‌شناسی محکم کار، به تعداد شش نمونه به روش طیفسنج جرمی جفت پلاسمای القاشده<sup>۴</sup> (جدول ۴) در آزمایشگاه Acme کانادا انجام شده نیز استفاده گردیده است.

### زمین‌شناسی

پهنه ساختاری سبزوار شامل گستره‌های محدود بین گسل میامی و درونه است که دریک روند تقیبی خاوری- باختری از سبزوار تا مرز افغانستان به صورت بلوك ذوزنقه‌ای شکل ادامه دارد (شکل ۱). در این زیر پهنه سنگ‌های پالئوزوئیک، مزوژوئیک و سنوژوئیک بروند دارند. بروند‌های سنگی عمدۀ این زیر پهنه را می‌توان در سه گروه بزرگ دسته‌بندی کرد.

1. Keweenaw Peninsula

2. Volcanic red bed

3. Manto type

4. Volcanic massive sulfide

5. X-Ray diffraction

6. X-ray fluorescence

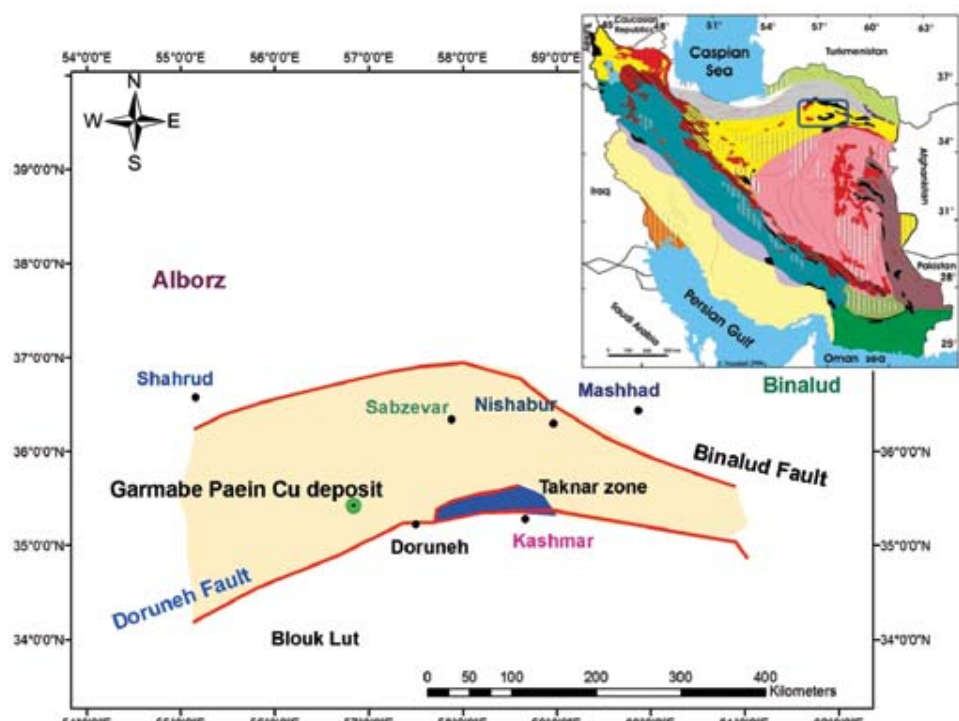
7. Inductively coupled plasma optical emission spectroscopy

8. Inductively coupled plasma mass spectrometry

ذخایر، مس طبیعی موجود در گدازه‌های بازالتی شبۀ جزیره کویناو (میشیگان)، ذخایر مس در توالی سرخ آتش‌شانی<sup>۵</sup>، ذخایر تیپ مانتو<sup>۶</sup>، کانه‌زایی مس طبیعی در سنگ‌های رسوبی آواری، کانه‌زایی مس طبیعی ناشی از اکسیداسیون و مس طبیعی در باتلاق‌ها و مرداب‌های عهد حاضر می‌باشد (Cornwall, 1956; Kirkham, 1996). بیشتر کانه‌زایی مس طبیعی معمولاً در سنگ‌های مافیک قرار دارد، بهترین مثال این نوع کانه‌زایی در نواحی دریاچه سوپریور و شبۀ جزیره کویناو در آمریکا می‌باشد (Kirkham, 1996). از این نوع کانه‌زایی در ایران می‌توان به کانسار عباس‌آباد شمال غرب قزوین و کانسار دارهند در ۴/۵ کیلومتری نظرن اشاره نمود (مرادی و همکاران، ۱۳۹۰، Nezafati et al., 2006).

پژوهش‌های انجام شده توسط سازمان زمین‌شناسی و اکتشافات معدنی کشور و محققان دانشگاهی در زیر پهنه سبزوار منجر به شناسایی رخدادهای مختلف کانه‌زایی‌های مس و منگنز در واحدهای آتش‌شانی-رسوبی کرتاسه پسین در این زیر پهنه ساختاری شده است (شکل ۱). از جمله این کانه‌زایی‌های مس و منگنز می‌توان به کانسارهای مس نوده (مففوری و همکاران، ۱۳۹۰)، مس- نقره گرماب پایین (طاشی و همکاران، ۱۳۹۲)، منگنز چشمۀ فریزی، بنسرید (مسعودی، ۱۳۸۸)، منگنز چشمۀ سفید و ذاکری (تقی‌زاده و همکاران، ۱۳۹۱) و منگنز نوده (نصراللهی و همکاران، ۱۳۹۱) اشاره کرد.

بررسی‌ها و مطالعات صورت گرفته در کانسار سولفید‌توده‌ای آتش‌شان زاد<sup>۷</sup> مس- نقره گرماب پایین (طاشی و همکاران، ۱۳۹۲؛ Tashi et al., 2014) نشان‌دهنده کانه‌زایی مس به صورت سولفیدی و اکسیدی و کانه‌زایی مس طبیعی به شکل رگه- رگچه‌ای و دانه پراکنده در سنگ‌های آتش‌شانی میزان کانه‌زایی سولفید توده‌ای می‌باشد. از نظر موقعیت جغرافیایی کانسار گرماب پایین در ۲۹۰ کیلومتری جنوب شرق شاهرود، در مجاورت روستای گرماب پایین، در پهنه ایران مرکزی و زیر پهنه سبزوار واقع شده است (شکل ۱). هدف از این پژوهش، بررسی سنگ‌شناختی، دگرسانی، ساخت و بافت کانه‌زایی، زئوشیمی، محیط زمین ساختی



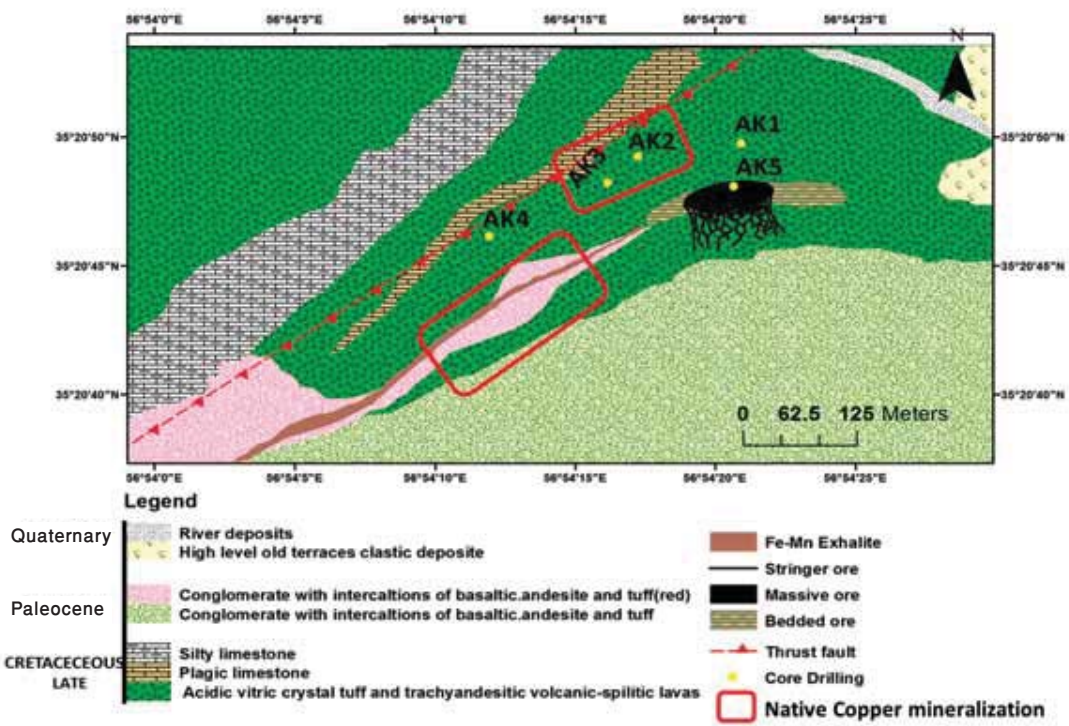
شکل ۱. موقعیت کانسار گرماب پایین در پهنه ساختاری سبزوار در ایران مرکزی (با تغییرات از ۱۹۸۳ (Lindenberg et al., 1983)

آهک‌های گلوبوترونکانادر و پلاژیک تقسیم کرد.  
گروه سوم نیز مربوط به توالی‌های رسویی فلیش گونه هستند که تغییرات سنی آن‌ها از اوپسن تا زمان نئوژن است. بر اساس مطالعات صحرایی و نقشه زمین‌شناسی ۱:۱۰۰۰۰۰ مری-اسپکشان (کهن‌سال، ۱۳۸۶)، عمدت‌ترین واحدهای سنگی رخنمون یافته در منطقه مورد مطالعه از قدیم به جدید شامل آهک توده‌ای اریتولین‌دار کرتاسه زیرین، سنگ‌های آتشفسانی آندزیتی- داسیتی به صورت گذاره و آذرآواری به همراه آهک کرم‌رنگ گلوبوترونکانادر به سن کرتاسه پسین، کنگلومرای چندزادی متشكل از قطعات آهکی و آتشفسانی (معادل کنگلومرای پالئوسن کرمان) و سنگ‌های آتشفسانی و آذرآواری به همراه ماسه‌سنگ، کنگلومرا و آهک نومولیت‌دار اوپسن میانی- بالایی است. مجموعه توالی آتشفسانی- رسویی کرتاسه پسین در کانسار سولفید توده‌ای گرماب پایین بیشتر شامل توف اسیدی سبز رنگ، گدازه تراکی آندزیتی، آهک گلوبوترونکانادر، آهک پلاژیک و رادیولاریت می‌باشد (شکل ۲).

گروه اول مربوط به مجموعه‌های افیولیتی سبزوار و تربت‌حیدریه هستند که خاستگاه اقیانوسی دارند و اطراف ایران مرکزی را احاطه می‌کنند. بیشتر این سنگ‌ها اولترامافیک- مافیک (مثل دونیت، پریدوتیت و گابرو) هستند. سنگ‌های رسویی همراه آن‌ها نیز نشانگر زمان کرتاسه پسین و محیط‌های نسبتاً ژرف‌اقیانوسی است، که در یک محیط کششی از نوع حوضه‌های پشت کمانی<sup>۱</sup> در طی عبور از زمان کرتاسه میانی به کرتاسه بالایی تشکیل شده‌اند. این کشش در اثر فروزانش ورقه اقیانوسی نئوتیس به زیر ایران مرکزی اتفاق افتاده است. این سنگ‌های افیولیتی میزبان ذخایر گوناگونی از نوع کرومیت، منیزیت، منگنز و مس می‌باشند (Agard et al., 2007; Rossetti et al., 2007; Gerdes and Zeh, 2009).

گروه دوم مربوط به سنگ‌های آتشفسانی- رسویی کرتاسه پسین می‌باشد که غیر افیولیتی است و ارتباط ژنتیکی با سنگ‌های افیولیتی ندارد (وطن‌پور و همکاران، ۱۳۸۸). توالی سنگ‌های آتشفسانی- رسویی کرتاسه پسین را بر اساس نوع کانه‌زایی منگنز و مس می‌توان به دو بخش توفی و سنگ‌های آتشفسانی آندزیتی و داسیتی به همراه

1. Back-arc



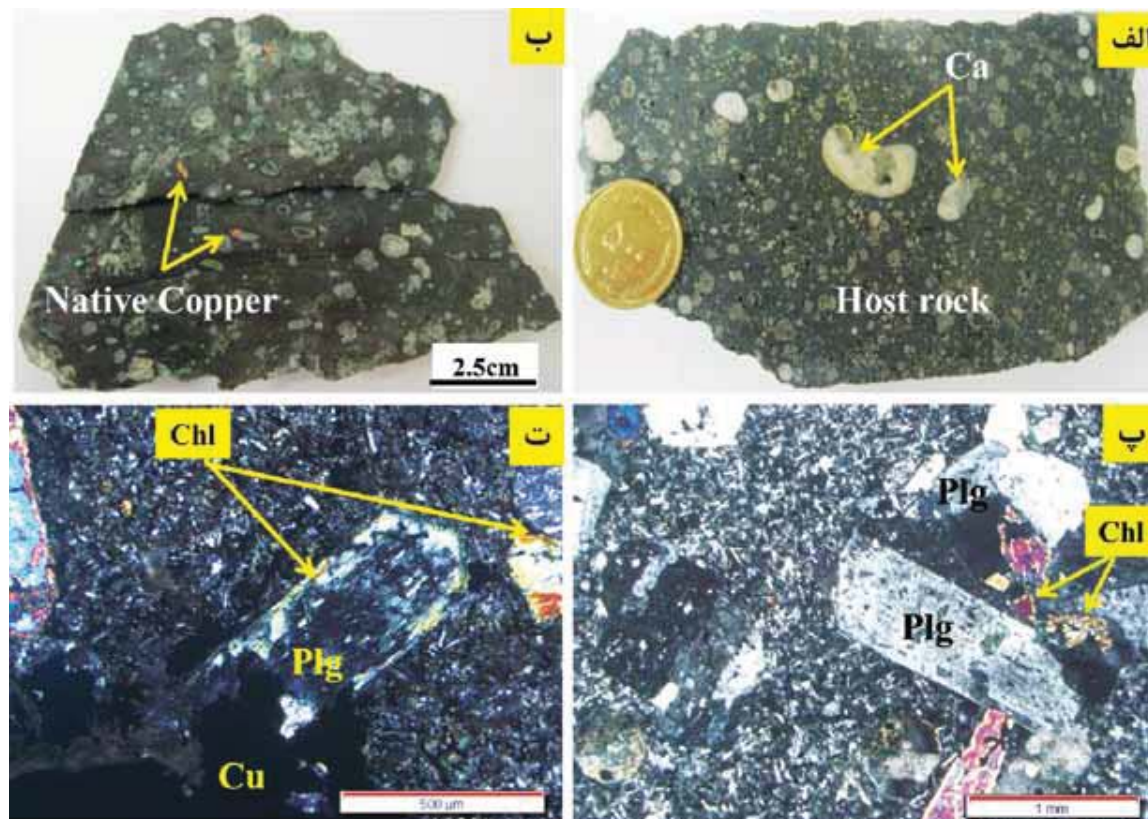
شکل ۲. نقشه زمین‌شناسی بزرگ مقیاس کانسار مس- نقره گرماب پایین به همراه موقعیت چاه‌های حفاری

## کانه‌زایی

کانه‌زایی‌های مس طبیعی، در کانسار گرماب پایین به شکل چینه‌کران در دو واحد سنگ‌شناختی مختلف شامل واحد آتشفسانی آندزی بازالت، تراکی آندزیت و برش آتشفسانی کرتاسه‌پسین و واحد کنگلومرایی پالئوسن رخ داده است. مطالعات کانی‌شناسی بر روی مقاطع نازک- صیقلی نمونه‌های معدنی مس گرماب پایین منجر به شناسایی کانی‌های مختلفی شده است که به صورت اولیه (هیپوژن) و یا به صورت ثانویه (سوپرژن)، در اثر فرایند هوازدگی تشکیل شده‌اند. این کانی‌ها عبارت از مس طبیعی، مگنتیت، هماتیت، کوبیریت و مالاکیت می‌باشند. کانی‌های باطله در کانسار گرماب پایین عمدتاً شامل کلریت، کانی‌های رسی، کوارتز، زیپس، آلبیت، زئولیت و بیوتیت هستند. لازم به ذکر است، رخداد مس طبیعی جزء مهم‌ترین کانه‌زایی‌ها در کانسار گرماب پایین می‌باشد.

مطالعات نمونه دستی سنگ‌های حاوی کانه‌زایی مس طبیعی نشان می‌دهد، این سنگ‌های میزبان (تراکی آندزیت و آندزی بازالت) دارای بافت بادامکی<sup>1</sup> هستند (شکل ۳-الف و ب) و این حفره‌ها و فضاهای خالی توسط کانی‌های مراحل تاخیری فاز ماقمایی و یا کانی‌های بعد فاز ماقمایی نظیر کلریت، کوارتز، کلسیت، زئولیت و مس طبیعی در سطح سنگ پرشده است (شکل ۳). بررسی‌های میکروسکوپی بر روی مقاطع نازک از این نمونه‌ها نشان می‌دهد که بافت غالب سنگ پورفیری و دارای فنوکریستلهای پلازیوکلаз، کلینوپیروکسن از نوع اوژیت و کانی‌های اپک است که در زمینه میکروکریستالین تا شیشه‌ای قرار گرفته است. فنوکریستلهای پلازیوکلاز، تحت تأثیر دگرسانی به کانی‌های کلریت، کانی‌های رسی، اپیدوت و کلسیت تبدیل شده‌اند (شکل ۳-پ و ت) که این، نشانگر دگرسانی نوع پروپلیتی است. زمینه دگرسان شده و شیشه‌زدایی شده سنگ از کوارتز، فلدسپار، بلورهای ریز پلازیوکلاز با ترکیب سدیک، کلریت و بلورهای ریز اسفن تشکیل شده است.

1. Amygdaloidal texture



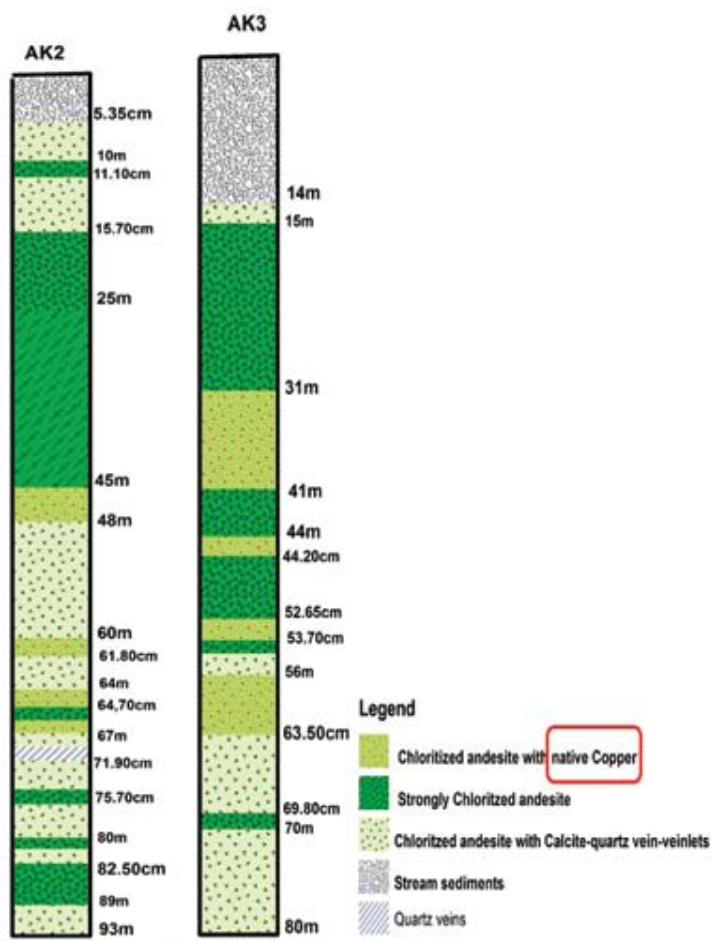
شکل ۳. (الف) نمونه دستی از تراکی آندزیت با بافت بادامکی، (ب) نمونه دستی تراکی آندزیت‌های میزبان کانه‌زایی مس طبیعی همراه با بافت بادامکی که بهشت‌کلریتی شده است. (پ و ت) تصاویر میکروسکوپی از تراکی آندزیت میزبان کانه‌زایی مس، فنوكربیست‌های پلاژیوکلаз که از اطراف کلریتی شده و در زمینه میکرولیتی قرار گرفته‌اند (نور عبوری XPL)

نوع بافت است. بافت اول به صورت رگه-رگچه‌ای و پرکننده فضای خالی می‌باشد (شکل ۵-الف و ب)، این نوع بافت گسترش فراوانی دارد و بخش عمده کانه‌زایی را شامل می‌شود. ضخامت این رگه-رگچه‌های مس از چند میلی‌متر تا سه سانتی‌متر است. بافت دوم که کم اهمیت‌تر می‌باشد مربوط به کانه‌زایی به صورت دانه پراکنده در متن سنگ‌های آتشفسانی آندزی بازالت و تراکی آندزیتی می‌باشد (شکل ۵-پ، ت و ث)، به نظر می‌رسد این نوع بافت در ارتباط با شکستگی‌های بسیار ریز است که موجب انتقال سیال مس‌دار و تمرکز آن در فضاهای خالی به صورت دانه پراکنده شده است.

لازم به ذکر است کانه‌زایی مس طبیعی در کانسار گرماب پایین از رخداد کانه‌زایی سولفید توده‌ای مجزا می‌باشد و از محل عدسی سولفید توده‌ای حدود ۹۳ متر فاصله دارد و در قسمت‌های کمر بالای کانسار قرار گرفته است (شکل ۲).

**الف- کانه‌زایی در واحد آتشفسانی کرتاسه پسین**  
کانه‌زایی در این واحد آتشفسانی هم در برش‌های آتشفسانی و هم در سنگ‌های آتشفسانی تراکی آندزیت با سن کرتاسه پسین رخ داده است. کانه‌زایی در برش‌های آتشفسانی بیشتر شامل کوپریت و مالاکیت است، اما کانه‌زایی در واحد تراکی آندزیتی و آندزی بازالت تنها از نوع مس طبیعی می‌باشد.

مطالعات صورت گرفته بر روی مغزه‌های حفاری AK2 و AK3 در کانسار گرماب پایین به عمق‌های ۸۰ و ۹۳ متر که به طور عمود در داخل واحد آتشفسانی آندزیتی حفر شده است (شکل‌های ۲ و ۴)، نشان می‌دهند که بیشتر کانه‌زایی مس طبیعی در این دو مغزه حفاری به ترتیب در عمق‌های ۴۵ الی ۶۷ متری در مغزه حفاری AK2 و عمق‌های ۳۱ الی ۶۴ متری در مغزه حفاری AK3 دیده می‌شود (شکل ۴). کانه‌زایی مس طبیعی در واحد آتشفسانی دارای دو



شکل ۴. نمایی از مغزه‌های حفاری AK2 و AK3 که بیشترین کانه‌زایی مس طبیعی در این دو مغزه و به ترتیب در عمق‌های ۴۵ تا ۶۷ متری در مغزه AK2 و عمق‌های ۳۱ تا ۶۴ متری در مغزه AK3 دیده می‌شود ( محل نقاط حفاری در نقشه زمین‌شناسی شکل ۳ نشان داده شده است)

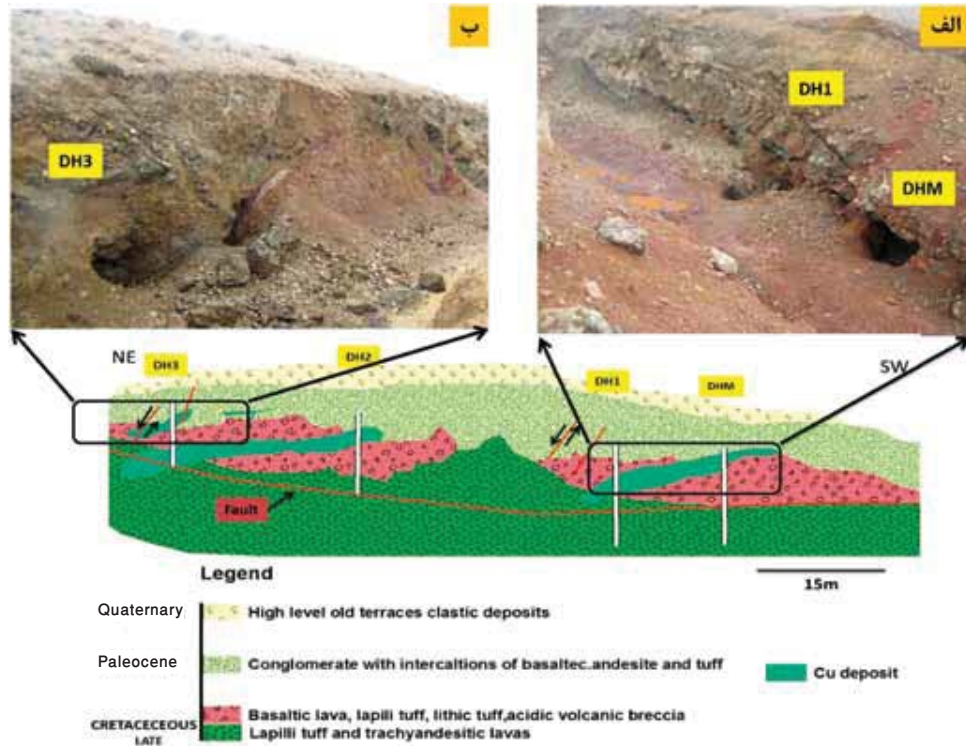


شکل ۵. کانه‌زایی مس طبیعی در سنگ میزان آندزی بازالت دگرسان شده کانسار گرماب پایین. (الف و ب) نمونه دستی از بافت رگه-رگچه‌ای مس طبیعی، (پ و ت) نمونه دستی از بافت دانه پراکنده کانه‌زایی مس طبیعی، (ث) تصویر میکروسکوپی از مس طبیعی (نور انعکاسی PPL). کلریت (Chl) و پلازیوکلاز (Plg)

### ب- کانه‌زایی در واحدهای کنگلومراپی پالئوسن

افق معدنی و در جهت شیب کانی‌سازی می‌باشدند. قطعات تشکیل‌دهنده این واحد سنگی شامل سنگ‌های آتشفسانی و رسوبی کرتاسه، با اندازه ۲-۲۰ سانتی‌متر است که در زمینه ماسه‌ای و سیمان آهکی جای گرفته‌اند. گردش‌گی آن‌ها متوسط تا خوب و جور شدگی متوسط تا ضعیف است (شکل ۷).

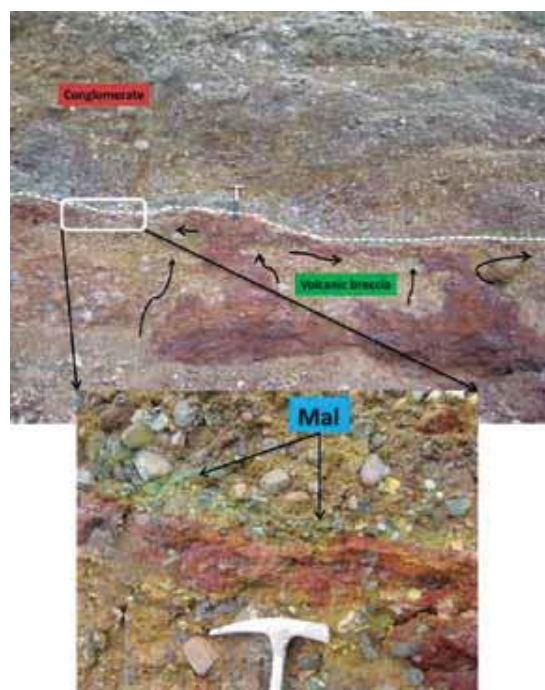
واحد بعدی که کانه‌زایی در آن رخ داده است مربوط به کنگلومراهای پالئوسن می‌باشد که در بخش جنوبی کانسار گرماب پایین قرار گرفته‌اند. مرز زیرین این گنگلومراها نیز با سنگ‌ها و برش‌های آتشفسانی به سن کرتاسه پسین به‌طور هم‌شیب است (شکل ۶). همان‌طور که در شکل ۶ نیز دیده می‌شود، تونل‌های استخراجی قدیمی همگی در راستای



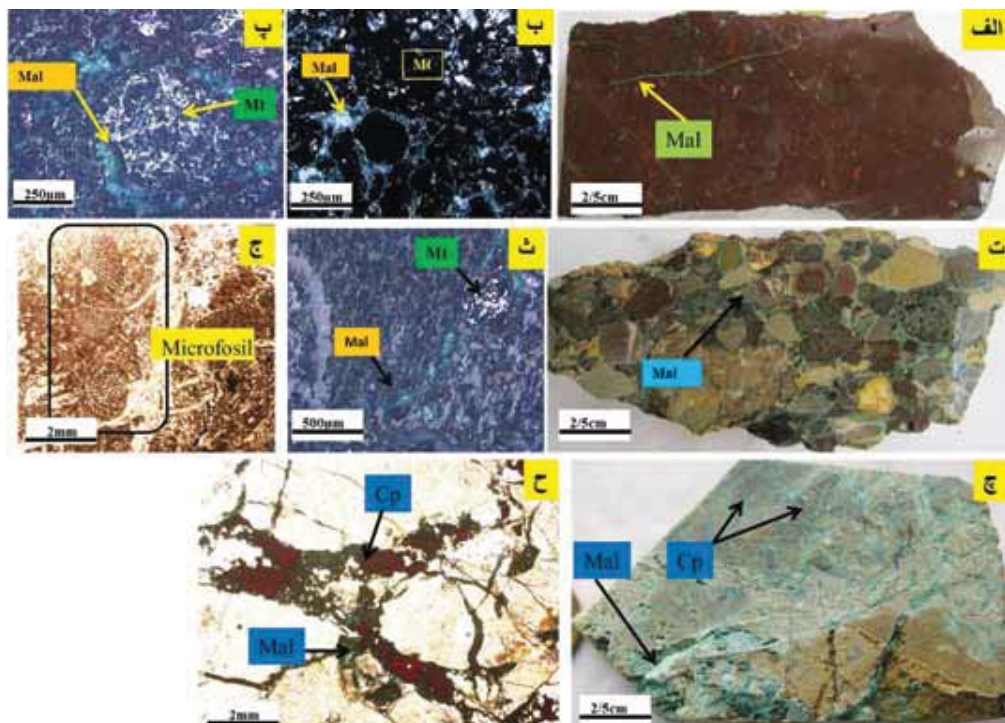
شکل ۶. نمایی از چاههای و تونل‌های استخراجی قدیمی که در راستای افق معدنی و درجهت شیب کانی‌سازی حفر شده‌اند، الف) چاههای حفاری (دید به سمت جنوب)، ب) تونل حفاری DH3 (دید به سمت جنوب شرق) و DHM (دید به سمت جنوب).

کوپریت با فرمول شیمیایی  $Cu_2O$ ، از مجموعه کانی‌های کوپریت می‌باشد، ملاکیت به عنوان یک کانی غیر سولفیدی در برش‌های سنگ‌های آتشفسانی کرتاسه پسین (شکل ۸-الف، ب و پ) و در کنگلومراهای پالئوسن به صورت شکافه‌پرکن، رگچه‌ای و بافت جانشینی دیده می‌شود (شکل ۸-ت و ث). از لحاظ پتروگرافی کنگلومراهای پالئوسن متشکل از آهک‌های فسیل‌دار و قطعات آندزیتی است. قطعات آهکی با سیمان پایین، همان‌طور که در بخش قبل نیز گفته شد، احتمالاً ناشی از اکسید شدن مس‌های طبیعی می‌باشد. از دیگر ویژگی‌های کوپریت این است که در نور عبوری (ppl) به رنگ قرمز آتشین دیده می‌شود (شکل ۸-ج).

کانه‌زایی در این بخش از کانسار بیشتر شامل ملاکیت و کوپریت می‌باشد، ملاکیت به عنوان یک کانی غیر سولفیدی در برش‌های سنگ‌های آتشفسانی کرتاسه پسین (شکل ۸-الف، ب و پ) و در کنگلومراهای پالئوسن به صورت شکافه‌پرکن، رگچه‌ای و بافت جانشینی دیده می‌شود (شکل ۸-ت و ث). از لحاظ پتروگرافی کنگلومراهای پالئوسن متشکل از آهک‌های فسیل‌دار و قطعات آندزیتی است. قطعات آهکی با سیمان کلستیتی به هم متصل شده و بین این قطعات کانی‌زایی ثانویه ملاکیت و کوپریت رخ داده است. در مقاطع میکروسکوپی این واحد سنگی، فسیل‌هایی چون اربیتولین به سن کرتاسه زیرین و جلبک‌ها و پلت‌ها نیز و بیش دیده می‌شوند (شکل ۸-ج).



شکل ۷. نمایی از کانه‌زایی مس (مالاکیت) در قسمت جنوبی کاسار، کانه‌زایی در داخل برش‌های آتشفسانی و کنگلومرا رخداده است (دید به سمت جنوب شرق). مالاکیت (Mal).

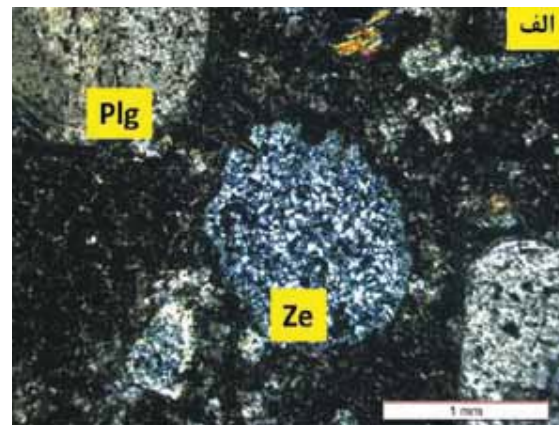
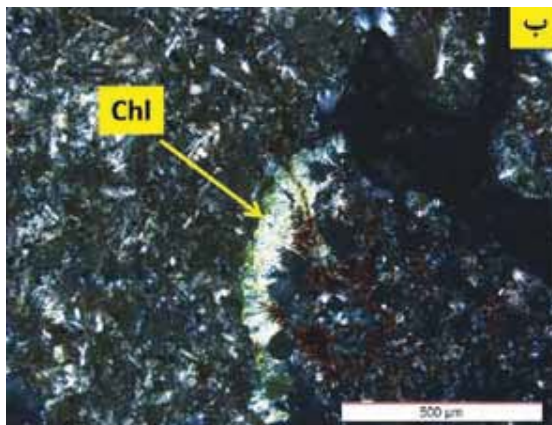


شکل ۸. (الف) نمونه دستی از برش‌های آتشفسانی همراه با کانه‌زایی بهصورت ثانویه (مالاکیت)، (ب و پ) تصویر میکروسکوپی از مگنتیت‌هایی که از اطراف در حال تبدیل شدن به همایت هستند، به همراه مالاکیت در اطراف آنها (تصویر میکروسکوپی شکل ب مربوط به نور عبوری PPL و شکل پ در نور عبوری XPL)، (ث) نمونه دستی از کنگلومرا همراه با رخداد ثانویه مس (مالاکیت)، (ت) کانه‌زایی مگنتیت بهصورت اولیه و رخداد مالاکیت بهصورت ثانویه و شکاف‌پرکن در بین قطعات کنگلومرا (نور عبوری XPL)، (ج) تصویر میکروسکوپی از میکرو فسیل‌های اریتوبلین مربوط به کرتاسه پیشین در داخل قطعات آهکی کنگلومرا (نور عبوری PPL)، (ح) نمونه دستی از کنگلومرا همراه با کانه‌زایی کوپریت و مالاکیت و (ح) تصویر میکروسکوپی از کوپریت‌های قرمز رنگ (نور عبوری PPL). مالاکیت (Mal)، مگنتیت (Mt) و کوپریت (Cp).

## دگرسانی

نیز معروف است، اغلب به دلیل اضافه شدن سدیم از طریق محلول‌های ماقمایی یا گرمابی حاصل می‌شود. دگرسانی زئولیتی نیز در دگرگونی‌های خفیف تدبیری (زیردریایی) در دما و فشار پایین می‌باشد، ظهور این رخساره معرف پایان دیابتز و آغاز دگرگونی است و در دمایی در حدود ۲۰۰ تا ۳۵۰ درجه سانتی‌گراد و فشارهای بین ۲/۵ تا ۸ کیلو بار فشار آب به وجود می‌آید. براساس مطالعات صورت گرفته دگرسانی‌های گروه دوم (دگرسانی‌های آلبیتی و زئولیتی) در ارتباط مستقیم با کانه‌زایی مس طبیعی می‌باشد و هم‌زمان با این کانه‌زایی‌ها ایجاد شده است. این نوع دگرسانی‌ها در کانسارهای مس طبیعی موجود در گذازهای بازالتی شبیه جزیره کوینا (میشیگان) به‌وضوح دیده می‌شود (Cornwall, 1956; Bornhorst and Barron, 2006; Brown, 2013).

دگرسانی به‌طور شاخص یک فرایند شستشوی پایه می‌باشد. به‌طور کلی، دگرسانی‌های رخ داده در کانسار گرماب پایین را می‌توان به دو گروه اصلی دسته‌بندی کرد: گروه اول، مطالعات صحرایی، میکروسکوپی و نتایج آنالیز پراش اشعه ایکس بر روی تعدادی از نمونه‌های برداشت شده از کانسار گرماب پایین نشان می‌دهد که به‌طور عمده، بیشترین حجم دگرسانی‌های مربوط به دگرسانی کلریتی است (جدول ۱ و شکل ۹) که در زمان فعالیت‌های آتش‌نشانی زیر دریایی (کرتاسه پسین) رخ داده است. شایان ذکر است که دگرسانی کلریتی معمولاً در اثر واکنش با آب دریا ایجاد شده است. گروه دوم، شامل دگرسانی‌های آلبیتی، زئولیتی، کوارتز و کلسیت می‌باشد (شکل ۹-الف و ب). دگرسانی آلبیتی که به نوع سدیم متاسوماتیزم



شکل ۹. تصاویر میکروسکوپی از کانی‌های زئولیت، کلریت همراه با کانه‌زایی مس طبیعی (نور عبوری XPL)، زئولیت (Ze) و کلریت (Chl)

جدول ۱. نتایج آنالیز پراش اشعه ایکس مربوط به نمونه‌های برداشته شده از مغذه‌های حفاری کانسار گرماب پایین

کانسار	شماره نمونه	نوع نمونه دستی	نتایج حاصل از آنالیز پراش اشعه ایکس	محل نمونه برداری
گرماب پایین	(G17)	آنذیت بازالت کلریتی شده	کوارتز-ورمیکولیت-آلبیت	مغذه حفاری ۳-Ak3- عمق ۷۴ متری
گرماب پایین	(G16)	آنذیت بازالت کلریتی شده	آلبیت-ورمیکولیت	مغذه حفاری ۴-Ak4- عمق ۶۴ متری

## ژئوشیمی و موقعیت زمین ساختی

می‌باشد. همچنین میزان نقره نیز در سنگ‌های آتش‌نشانی کانسار بالای ۱ ppm است. در صورتی که میزان کلارک نقره در سنگ‌های آذرین بازیک ۱/۱۱ ppm و در سنگ‌های حد وسط ۰/۰۷ ppm است. با توجه به این داده‌ها می‌توان عنوان نمود منطقه گرماب پایین از پتانسیل کانه‌زایی مس و نقره بالایی برخوردار است.

مطالعات داده‌های ژئوشیمی نشان می‌دهد که میانگین مس در زمینه سنگ‌های آتش‌نشانی کانسار گرماب پایین (بخش بدون کانه‌زایی) حدود ۱۷۴ ppm می‌باشد، در صورتی که کلارک مس در سنگ‌های آذرین بازیک ۸۷ ppm و در سنگ‌های حد وسط ۴۰ ppm است که این نشان دهنده بالا بودن میزان مس در سنگ‌های آتش‌نشانی کانسار

## الگوی رخداد کانه‌زایی مس طبیعی در سنگ‌های ...

جدول ۲. نتایج تجزیه فلورسانس اشعه ایکس مربوط به نمونه‌برداری سیستماتیک از مغزه حفاری AK2 (همه مقادیر برحسب درصد٪ می‌باشد)

شماره نمونه	نوع نمونه دستی و محل نمونه‌برداری	MgO	Al <sub>2</sub> O <sub>3</sub>	SiO <sub>2</sub>	P <sub>2</sub> O <sub>5</sub>	K <sub>2</sub> O	CaO	TiO <sub>2</sub>	MnO	Fe <sub>2</sub> O <sub>3</sub>	Na <sub>2</sub> O	SrO	SO <sub>3</sub>	CuO	L.O.I
G1	آندزیت بازلت، مغزه عمق ۱۳ متری حفاری AK2	۳۵/۲	۴۲/۱۴	۶۵/۸۱	۱۷/۰	۳۱/۲	۵۱/۲	۴۲/۰	۰	۷۹/۳	۸/۴	۰	۰	۰	۴۲/۳
G2	آندزیت بازلت، مغزه عمق ۲۵ متری حفاری AK2	۴۶/۳	۵/۱۵	۵۱/۶۵	۱۴/۰	۹۲/۲	۴۴/۱	۳۷/۰	۰	۰/۷۴	۴۹/۴	۰	۰	۰	۱/۲
G3	آندزیت بازلت، مغزه عمق ۵۷ متری حفاری AK2	۱۳/۷	۲۹/۱۵	۶/۵۸	۱۳/۰	۵۲/۱	۶۴/۲	۶/۰	۲/۰	۴/۷	۹۸/۳	۰	۰	۰	۵۱/۲
G4	آندزیت بازلت، مغزه عمق ۸۶ متری حفاری AK2	۳۷/۳	۸۷/۱۴	۴۲/۶۲	۱۱/۰	۹۷/۰	۴۵/۴	۳۹/۰	۰	۸۸/۵	۷/۳	۰/۸۰	۰	۰	۷۶/۳

جدول ۳. نتایج تجزیه ICP-AES مربوط به نمونه‌برداری سیستماتیک از مغزه حفاری AK2 (همه مقادیر برحسب ppm می‌باشد)

شماره نمونه	نوع نمونه دستی و محل نمونه‌برداری	Ag	As	Ce	Co	Cr	Cu	La	Li	Mn	Mo	Ni	Pb	Sb	Sc	Sr	Zn	
G1	آندزیت بازلت، مغزه عمق ۱۳ متری حفاری AK2	<1	<10	۱۳	۱۲	۱۰>	۳۳۲	<10	<10	۷۱۷	<1	<10	<10	<10	۱۰	۱۴	۱۱۱	۱۶۸
G2	آندزیت بازلت، مغزه عمق ۲۵ متری حفاری AK2	<1	<10	۱۱	۱۳	۱۰>	۱۳۹	<10	<10	۸۸۹	<1	<10	<10	<10	۱۰	۱۳	۸۵	۲۱۳
G3	آندزیت بازلت، مغزه عمق ۵۷ متری حفاری AK2	<1	<10	۱۵	۲۵	۳۵	۸۴	<10	<10	۱۳۴۷	<1	<10	<10	<10	۱۰	۱۷	۱۱۷	۱۳۹
G4	آندزیت بازلت، مغزه عمق ۸۶ متری حفاری AK2	<1	<10	۱۶	۲۰	۳۲	۱۴۱	۱۲	<10	۵۶۸	<1	<10	<10	<10	۱۰	۱۸	۵۵۰	۵۰

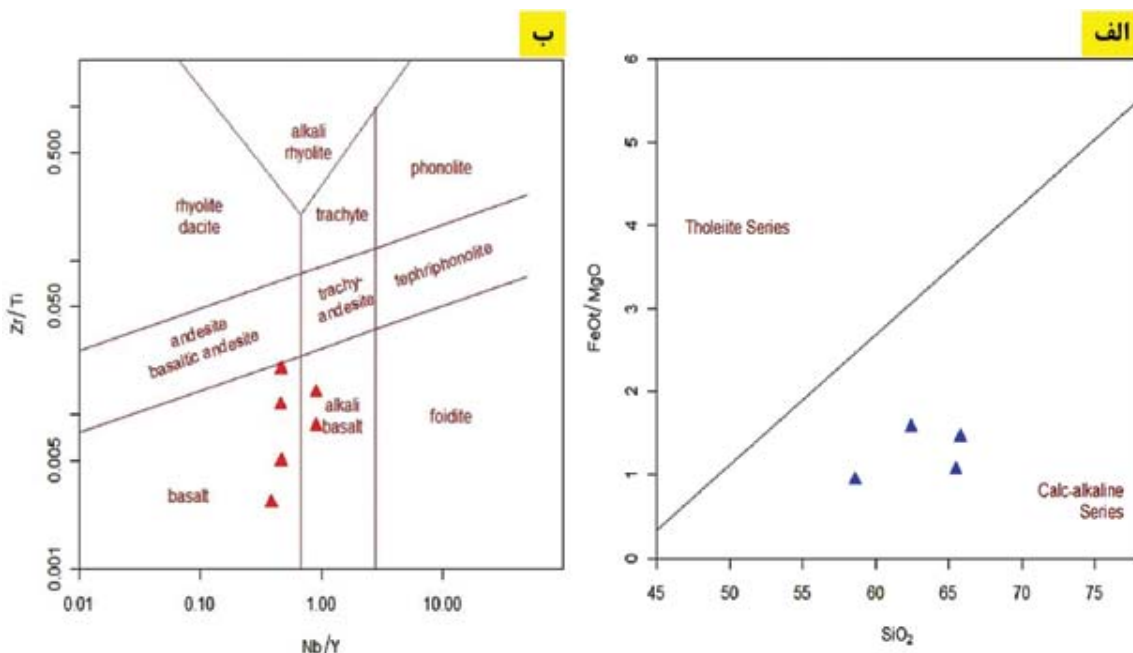
جدول ۴. نتایج تجزیه طیفسنج حرمی جفت پلاسمای القاشه مربوط به چاهک‌های حفاری

شماره نمونه	نوع نمونه و محل نمونه‌برداری	Au	Ag	Zn	Ce	Eu	Nb	Pb	Th	Ti	Y	Zr	Ti
CH10-T2A	آندزیت بازلت، چاهک حفاری در ولکانیک‌ها	۸۰	۳/۰	۱۵۰	۱۵	۱/۱	۱۸	۱۰۰	۱	۸/۴۴	۲۰	۶۱	۸/۴۴
CH10-T2B	آندزیت بازلت، چاهک حفاری در ولکانیک‌ها	۱/۴	۲/۰	۹۲	۱۳	۳/۱	۱۹	۵	۱	۴۹۱۶	۲۱	۴۱	۴۹۱۶
CH10-T2C	آندزیت بازلت، چاهک حفاری در ولکانیک‌ها	۳/۷	۶/۴	۹۰	۲۸	۹/۱	۳۰	۳۵	۱	۳۷۷۰	۷۸	۱۰	۳۷۷۰
DH13-D5-6	آندزیت بازلت، گمانه حفر شده در ولکانیک‌ها	۲/۴	۴/۰	۱۴۰	۱۹	۵/۱	۱۳	۸	۲	۴۲۴۷	۲۸	۲۱	۴۲۴۷
DH13-D7-8	آندزیت بازلت، گمانه حفر شده در ولکانیک‌ها	۴/۳	۶/۰	۱۰۰	۱۵	۲/۱	۱۱	۸	۱	۴۱۸۶	۲۴	۴۸	۴۱۸۶
DH6-D7-12	آندزیت بازلت، گمانه حفر شده در ولکانیک‌ها	۲/۲	۲/۰	۱۳۰	۱۵	۱/۱	۱۳	۵	۲	۲۷۶۲	۲۸	۵۴	۲۷۶۲

داده از شرکت زمین‌شناسی محکم کار، ۱۳۸۶ (مقادیر طلا برحسب ppb می‌باشد)

طبقه‌بندی سنگ‌های آتشفشانی و آذرآواری در داخل معدن بر اساس نمودار  $\text{Y}/\text{Nb}$  در برابر  $\text{Zr}/\text{Ti}$  (Pearce and Parkinson, 1996) نشان می‌دهد که بیشتر نمونه‌ها در محدوده بازالتی و تعداد کمتری در محدوده آلکالی بازالت قرار می‌گیرند (شکل ۱۰-ب).

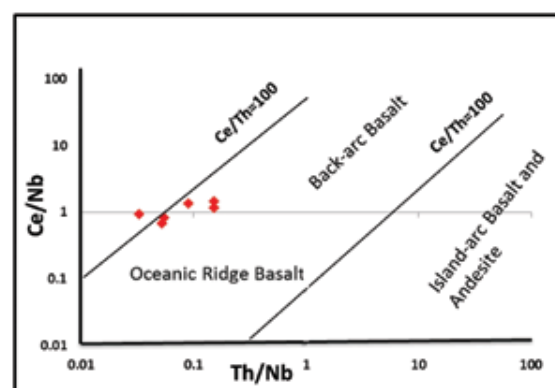
بر اساس نمودار  $\text{SiO}_2/\text{FeOt}$  در برابر  $\text{MgO}$  (Miyashiro, 1974) که برای تقسیم‌بندی سنگ‌ها به دو سری تولئیتی و کالک آلکالن بکار می‌رود، تمامی نمونه‌های سنگ‌های آتشفشانی توالی آتشفشانی-رسوبی گرماب پایین در محدوده کالک آلکالن واقع شده‌اند (شکل ۱۰-الف).



شکل ۱۰. الف) موقعیت نمونه سنگ‌های آتشفشانی کانسار گرماب پایین در نمودار  $\text{SiO}_2/\text{FeOt}$  در محدوده کالک آلکالن (جدول ۲). ب) موقعیت نمونه سنگ‌های آتشفشانی کانسار گرماب پایین در نمودار  $\text{Zr}/\text{Ti}$  در برابر  $\text{Nb}/\text{Y}$ . همان‌طور که مشاهده می‌کنید بیشتر نمونه‌ها در محدوده بازالت و کمتر در محدوده آلکالی بازالت قرار می‌گیرد (جدول ۳) (Saunders and Tarney, 1991)

در زیر پهنه سبزوار، ایجاد محیط کششی و تشکیل یک کافت پشت‌کمانی در طی کرتاسه پسین می‌باشد (Rossetti et al., 2010) که در این مطالعه نیز تأیید می‌شود.

از آنجا که ارتباط خاصی بین شیمی عناصر اصلی و نادر با محیط تکتونو ماگمایی سنگ‌ها وجود دارد، امروزه از نمودارهای رئوشیمیایی برای تعیین محیط زمین ساختی سنگ‌ها استفاده می‌شود. از طرفی حضور سنگ‌های آلکالن در حوضه‌های اقیانوسی نشان‌دهنده مراحل اولیه کافت پشت‌کمانی است. لذا با توجه به ماهیت کالک آلکالن بودن نمونه‌های آتشفشانی گرماب پایین و قرارگیری نمونه‌ها در محدوده حوضه کششی پشت‌کمانی در نمودار دوتایی  $\text{Ce}/\text{Nb}$  در برابر  $\text{Th}/\text{Nb}$  (Saunders and Tarney, 1991) مشخص شده است که توالی آتشفشانی-رسوبی منطقه گرماب پایین در محدوده حوضه‌های کششی پشت‌کمانی تشکیل شده است (شکل ۱۱). لازم به ذکر است همان‌طور که قبل ذکر شد نظریه عمومی در مورد ماغماتیسم و رسوب‌گذاری



شکل ۱۱. موقعیت نمونه‌های آتشفشانی گرماب پایین در نمودار دوتایی  $\text{Ce}/\text{Nb}$  در برابر  $\text{Th}/\text{Nb}$  (Saunders and Tarney, 1991). (جدول ۳)

## الگوی تشکیل مس طبیعی در سنگ‌های آتشفسانی میزان گرماب پایین

بر اساس مطالعات زمین‌شناسی، سنگ‌شناسی، کانه‌شناسی، شکل هندسی، بافت و ساخت ماده معدنی، مطالعات دگرسانی و ژئوشیمیایی، مراحل کانه‌زایی و تحول آن در کانسار گرماب پایین به چهار مرحله جدا از هم تقسیم می‌شود.

### مرحله اول: بازشدگی حوضه آتشفسانی-رسوبی زیردریایی و تشکیل کانسار سولفید توده‌ای

مرحله اول به فرونش لیتوسفر اقیانوسی نتوتیس به زیر ایران مرکزی، در زمان ژوراسیک- کرتاسه مربوط است که باعث ایجاد حرکات کششی در منطقه سبزوار و ایجاد یک کافت پشت‌کمانی شده است (Rossetti et al., 2010)، (شکل ۱۲-الف و ب). در ادامه بر اثر فعالیت‌های آتشفسانی زیردریایی در این حوضه پشت‌کمانی عمیق و عملکرد گسل‌های همزمان با مامگماتیسم، سیالات کانه‌دار داغ ایجاد شده‌اند که همزمان با بالا آمدن و چرخش آن‌ها در توالی آتشفسانی-رسوبی و ورود آن‌ها به کف دریا، موجب نهشته شدن مواد معدنی به صورت سولفید توده‌ای آتشفسانی‌زاد (شکل ۱۲-پ-ت) شده‌اند (Tashi et al., 2014). همچنین این رخداد کانه‌زایی موجب ایجاد دگرسانی گستردۀ کلریتی در سنگ‌های آتشفسانی کانسار شده است.

**مرحله دوم: ادامه ولکانیسم و رسوب‌گذاری و تدفین**  
در این مرحله، با ادامه فعالیت‌های آتشفسانی زیر دریایی و تهشینی بیشتر رسوبات، توالی آتشفسانی-رسوبی ضخیمی در این حوضه پشت‌کمانی ایجاد شده است، که در ادامه، تحت تدفین شدگی عمیق قرار می‌گیرد (شکل ۱۲-ث). نتیجه تدفین و عملکرد فرآیند دیاژنر، ایجاد سیالات نسبتاً داغ شور می‌باشد که قابلیت شستشوی عناصر از جمله مس را دارند.

**مرحله سوم: کوهزایی لارامید و چین‌خوردگی منطقه و تشکیل کنگلومراهای پالئوسن و کانه‌زایی مس طبیعی**  
در اواخر دوره کرتاسه و آغاز سنتزوزئیک، جنبش کوهزایی لارامید، در چهاره یک فاز فشارشی، سبب چین‌خوردگی و بیرون آمدن منطقه از آب شده است. فاز

فشارشی و چین‌خوردگی شدید پایان کرتاسه موجب پیشروی دریا در پالئوسن پیشین و ایجاد کنگلومرای واحد پالئوسن (کنگلومرای کرمان) شده است (شکل ۱۲-ج). در حین بالا آمدگی، سیالات داغ ایجاد شده در مرحله دیاژنر و تدفین به سمت بالا حرکت کرده و مس را از سنگ‌های آتشفسانی کرتاسه پسین شسته و تحت شرایط احیایی و فشار پایین، گوگرد به صورت مس طبیعی در واحدهای آندزیت بازالت و تراکی آندزیت و کنگلومراهای پالئوسن تهشیست داده شده است (شکل ۱۲-ج).

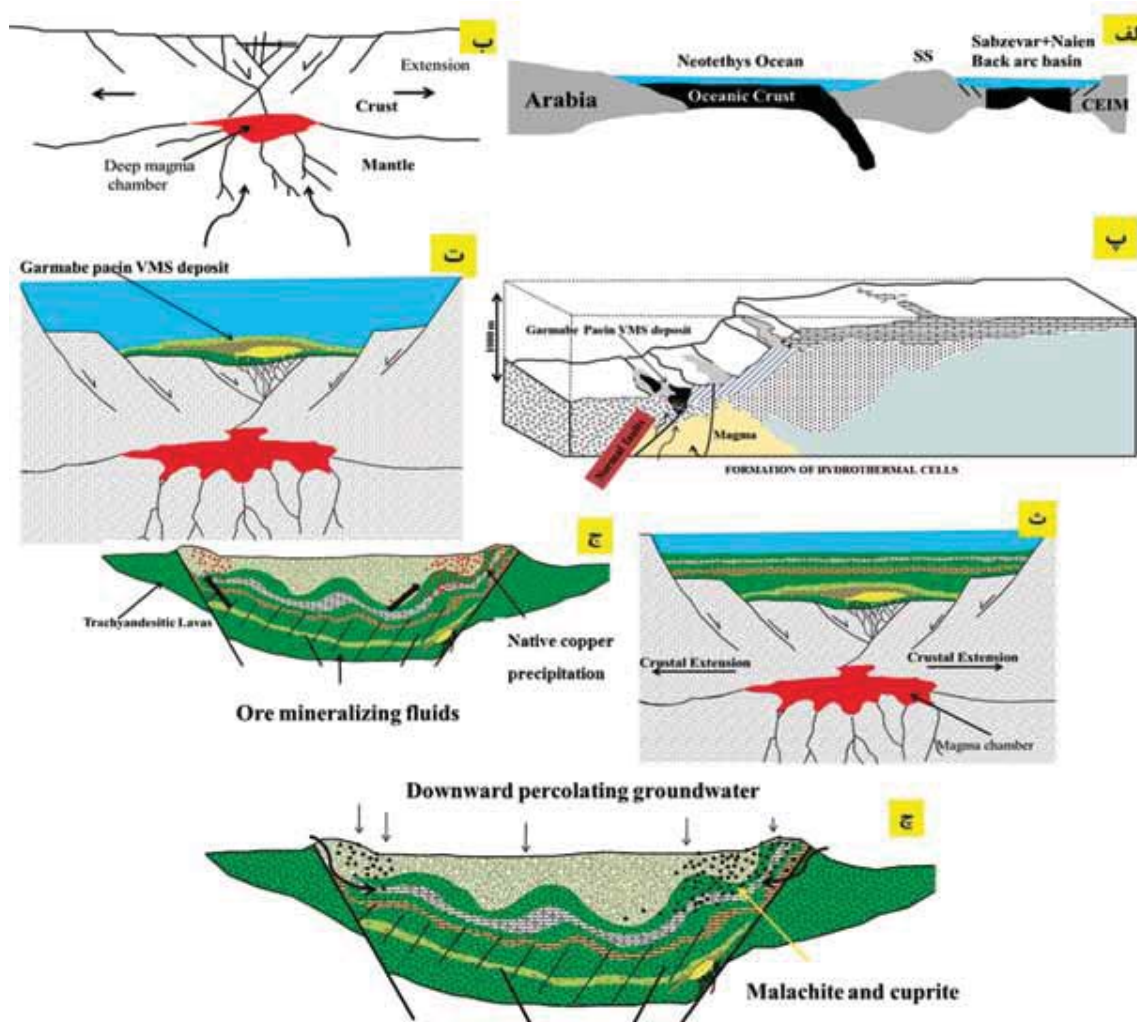
این مرحله کانه‌زایی در کانسار گرماب پایین از نظر زمانی جدای از کانه‌زایی سولفید توده‌ای آتشفسانی زاد می‌باشد. مطالعات صورت گرفته بر اساس نوع دگرسانی، ساخت و بافت و نوع کانه‌زایی نشان می‌دهد، این کانه‌زایی در اثر دیاژنر و تدفین یا دگرگونی خفیف دفنی (در حد رخساره زئولیتی) بر روی توالی آتشفسانی-رسوبی منطقه معدنی تشکیل شده است. این چنین می‌توان استنباط کرد که دیاژنر خفیف در منطقه معدنی موجب ایجاد سیال شورابهای حوضه‌ای نسبتاً داغ شده که به دنبال بالا آمدگی منطقه وارد شکستگی‌ها و سنگ‌ها شده است. واکنش این سیالات داغ با سنگ‌ها آتشفسانی، موجب خارج شدن عنصر مس از درون شبکه سیلیکات‌ها و سپس حمل آن به صورت  $Cu^{2+}$  به بخش‌های بالایی (شامل سنگ‌های آتشفسانی کرتاسه پسین، برش ولکانیکی و کنگلومرای پالئوسن) شده است. همان‌طور که پیشتر بیان شد رخداد کانه‌زایی سولفید توده‌ای در کانسار گرماب پایین موجب ایجاد دگرسانی شدید کلریتی در سنگ‌های آتشفسانی کانسار شده است. این دگرسانی کلریتی موجب آزاد شدن الکترون و ایجاد محیط احیایی شده و از طرفی پایین بودن فوگاسیتۀ گوگرد در سنگ‌های دگرسان شده باعث تشکیل مس به صورت طبیعی ( $Cu^0$ ) به همراه زئولیت (دگرسانی زئولیتی) شده است (شکل ۱۲-ج). همچنین همراه نبودن کانه‌های سولفیدی مس (همچون کالکوپیریت، بورنیت و کالکوسویت) در بخش‌هایی که کانه‌زایی مس طبیعی رخ داده، نشان از این است که میزان فوگاسیتۀ گوگرد بسیار پایین بوده است. لازم به ذکر است این مکانیسم تشکیل مشابه کانه‌زایی مس طبیعی در

همان طور که در مرحله قبلی گفته شد، بالا آمدن سیالات مس دار موجب کانه‌زایی مس طبیعی در برش‌های آتشفسانی و گنگلومراهای پالئوسن شده است، که در ادامه تأثیر فرایند هوازدگی و سوپرژن سبب تبدیل مس طبیعی به کانی‌های اکسیدی مس دار همچون کوپریت و کانی کربناتی مس مانند مالاکیت شده است (شکل ۱۲-ج).

بازالت‌های با بافت بادامکی و واحدهای کنگلومراهی شبه جزیره کوینتاو (میشیگان) است (Bornhorst and Barron, 2006; Brown, 2006).

#### مرحله چهارم: سوپرژن

این مرحله از کانه‌زایی به تشکیل کوپریت و مالاکیت در برش‌های آتشفسانی و کنگلومراهای پالئوسن مربوط است.



شکل ۱۲. تصاویر نمادین از مراحل مختلف تشکیل کانسار گرماب پایین. (الف و ب) بازشدگی کافت پشت کمانی در منطقه سبزوار بر اثر فرورانش نئوتیسیس به زیر ایران مرکزی (Rossetti et al., 2010). (پ و ت) عملکرد گسل‌های هم‌زمان با ولکانیسم که موجب گسترش سامانه‌های گرمابی زیر دریایی و ایجاد کانسار سولفید توده‌ای آتشفسانی زاد در کرتاسه پسین در منطقه گرماب پایین شده است. (ث) تدفین کانسار سولفید توده‌ای آتشفسانی زاد در اثر فوارن مواد آتشفسانی و تشکیل لایه‌های ولکانیکی و رسوبی بعدی، دفن شدگی و فشار دیاژنزی توالی آتشفسانی-رسوبی موجب تشکیل سیال داغ شور شده است. (ج) چین خورده‌ی لارامید در کرتاسه پسین و فرسایش سنگ‌های مختلف موجود در کنار حوضه و حمل این سنگ‌ها به درون حوضه کم عمق، موجب تشکیل کنگلومراهای پالئوسن و پوشیده شدن بیشتر فرورفتگی موجود در توالی چین خورده آتشفسان-رسوبی توسط این کنگلومراها شده است، در ادامه صعود سیالات داغ شور ایجاد شده در مرحله قبل و شستشوی مس از ولکانیک‌ها باعث کانه‌زایی مس طبیعی در توالی ولکانیکی کرتاسه پسین و کنگلومراهای پالئوسن شده است. (ج) نفوذ سیالات جوی به داخل واحدهای کنگلومراهی آتشفسانی کانه‌دار (حاوی مس طبیعی)، موجب تشکیل کوپریت و مالاکیت در این سنگ‌ها به صورت رگ-رگچه‌ای شده است.

## نوع کانه زایی

اما در کانسارهای مس نوع آتشفسانی-لایه سرخ، سنگ میزان شامل گدازه‌های مافیک و فلزیک، بهویژه گدازه‌های بادامکی، توف برشی و سنگ‌های رسوبی وابسته است (Guilbert and Park, 1986). شاخصه مهم بعدی که باعث تمایز این نوع کانه‌زایی با کانه‌زایی نوع مانتو و نوع آتشفسانی-لایه سرخ می‌شود، مربوطه به نوع کانه‌زایی در این تیپ کانسارها است. بهصورتی که در کانسارهای نوع میشیگان کانی مس طبیعی بهعنوان کانی اصلی در کانسار محسوب می‌شود، اما در کانسارهای نوع مانتو و آتشفسانی-لایه سرخ میزان کانی مس طبیعی بسیار پایین بوده و بیشترین حجم کانه‌زایی مربوط به کانه‌های کالکوپیریت، کالکوپیریت، بورنیت و مالاکیت است. قابل ذکر است در کانسار گرماب پایین نیز کانی مس طبیعی بهعنوان کانی اصلی و کانه‌های مالاکیت و کوپریت بهعنوان کانه‌های فرعی محسوب می‌شوند (جدول ۵).

در جدول ۶ نیز ضمن بیان ویژگی‌های برخی از کانسارهای تیپ میشیگان در ایران، سعی در مقایسه کانه‌زایی مس طبیعی در کانسار گرماب پایین با کانسارهای تیپ میشیگان در ایران شده است. با توجه به این جدول شباهت‌های بسیار زیادی میان این نوع کانه‌زایی با کانسارهای تیپ میشیگان مشاهده می‌شود.

بر اساس آنچه که در مورد ویژگی‌های کانه‌زایی مس طبیعی در کانسار گرماب پایین در بخش قبلی گفته شد، اقدام به مقایسه انواع کانه‌زایی‌های مس طبیعی در سنگ‌های آتشفسانی در جهان و تعیین نوع کانه‌زایی شد. بدین منظور با توجه به شواهد بیان شده در مورد کانه‌زایی مس طبیعی در این کانسار می‌توان آن را با سه نوع کانسار با انواع مختلف مقایسه کرد:

- الف- کانسارهای مس نوع میشیگان
- ب- کانسارهای مس در توالی سرخ آتشفسانی
- ج- کانسارهای مس نوع مانتو

مقایسه این سه نوع کانه‌زایی با رخداد مس طبیعی در کانسار گرماب پایین بر اساس شاخصه‌های مهم نشان می‌دهد، که کانه‌زایی در کانسار گرماب بیشترین شباهت را با کانسارهای نوع میشیگان دارد (جدول ۵).

از جمله این شاخصه‌های مهم می‌توان به نوع سنگ میزان، نوع کانه‌زایی و نوع دگرسانی اشاره نمود. بهصورتی که بر اساس نوع سنگ میزان، کانه‌زایی در کانسارهای میشیگان در سنگ‌های بازالتی تولیتی حفره‌دار و کنگلومرا رخ داده است. در کانسار گرماب پایین نیز سنگ میزان کانه‌زایی تراکی آندزیت، آندزی بازالت و کنگلومرا می‌باشد.

جدول ۵. مقایسه کانه‌زایی مس طبیعی در کانسار گرماب پایین با کانسارهای تیپ میشیگان، آتشفسانی لایه- سرخ و تیپ مانتو

ویژگی‌ها	موقعیت	پاراژن کانیایی	جایگاه زمین ساختی	محیط پشت‌کمانی	کالکالان	سنگ میزان	کنگلومرا	ترکی آندزیت، آندزیت بازالت و گدازه‌های بازالتی و آندزیتی	شیلی (کانسار بوتناسپاراز)	آمریکای شمالی	سرخ (volcanic red-bed copper)	Michigan type	کانسارهای مس نوع آتشفسانی-لایه سرخ	کانسارهای مس نوع مانتو	کانسارهای مس طبیعی در کانسار	کانسار کانه‌زایی مس طبیعی در کانسار	
مس طبیعی، کوپریت، مالاکیت، آزوریت، کریزوکلا، نقره طبیعی و کالکوپیریت	پاراژن کانیایی	مس طبیعی، کوپریت و مالاکیت	جایگاه زمین ساختی	محیط پشت‌کمانی	کالکالان	ترکی آندزیت، آندزیت بازالت و گدازه‌های بازالتی و آندزیتی	سنگ میزان	ترکی آندزیت، آندزیت بازالت و گدازه‌های بازالتی و آندزیتی	شیلی (کانسار بوتناسپاراز)	آمریکای شمالی	سرخ (volcanic red-bed copper)	Michigan type	کانسارهای مس نوع آتشفسانی-لایه سرخ	کانسارهای مس نوع مانتو	کانسارهای مس طبیعی در کانسار	کانسار کانه‌زایی مس طبیعی در کانسار	
افشان و پرکننده فضای خالی	بافت ماده معدنی	.....	.....	.....	رگه-رگچه‌ای، دانه پراکنده و هم‌شیب و غیرهم‌شیب	رگه-رگچه‌ای و دانه پراکنده	رگه-رگچه‌ای و دانه پراکنده	ایران- جنوب شرق شهرود	ایران- جنوب شرق شهرود	ایران- جنوب شرق شهرود	ایران- جنوب شرق شهرود	Michigan type	کانسارهای مس نوع آتشفسانی-لایه سرخ	کانسارهای مس نوع مانتو	کانسارهای مس طبیعی در کانسار	کانسار کانه‌زایی مس طبیعی در کانسار	
کلسیت، کلریت، اپیدوت، کوارتز، اپیدوت، کوارتز، پامپلی ایت و زئولیت پالشوزنیک	محصولات دگرسانی	.....	.....	.....	.....	.....	.....	ترکی آندزیت، آندزیت بازالت و گدازه‌های بازالتی و آندزیتی	ترکی آندزیت، آندزیت بازالت و گدازه‌های بازالتی و آندزیتی	ترکی آندزیت، آندزیت بازالت و گدازه‌های بازالتی و آندزیتی	ترکی آندزیت، آندزیت بازالت و گدازه‌ای بازالتی و آندزیتی	Michigan type	کانسارهای مس نوع آتشفسانی-لایه سرخ	کانسارهای مس نوع مانتو	کانسارهای مس طبیعی در کانسار	کانسار کانه‌زایی مس طبیعی در کانسار	
(Cornwall, 1956; Brown, 2006)	سن کانه زایی	(Kirkham, 1996; Cabral and Beaudoin, 2007)	(Sillitoe, 1977; Ramírez et al., 2006)	این تحقیق	.....	.....	.....	.....	.....	.....	.....	.....	Michigan type	کانسارهای مس نوع آتشفسانی-لایه سرخ	کانسارهای مس نوع مانتو	کانسارهای مس طبیعی در کانسار	کانسار کانه‌زایی مس طبیعی در کانسار
	مراجع																

جدول ۶. مقایسه کانه‌زایی مس طبیعی در کانسار گرماب پایین با کانسارهای مس نوع میشیگان در ایران

ویژگی‌ها	کانسار	کانسار گرماب پایین	اندیس معدنی قبله بولاغ	اندیس معدنی دارهند	کانسار مس عباس آباد
موقعیت	۲۹۰ کیلومتری جنوب شرق شهرود				شمال غرب قزوین. زون طارم
سن کانه زایی	احتمالاً اواخر پالوسن		جنوب خاور زنجان		پالوسن
سنگ میزان	ترکی آندزیت و آندزیت بازالت		پالوسن میانی تا بالای بازالت آمیگدالوئیدال		آندرزیت و بازالت
ساخت و بافت ماده معدنی	رگه‌رچه‌ای و دانه پراکنده		افشان و پرکننده فضای خالی رگه‌ای و پرکننده فضای خالی		رگه‌ای
پاراژن کانیایی	مس طبیعی، کوپریت و ملاکیت		مس طبیعی، کوپریت، تنوریت، مالاکیت و اندکی پیرت		مس طبیعی، کوپریت و ملاکیت
دگرسانی	کلریت و زئولیت		زئولیت، پرهنیت پومپله ایت		زئولیت، کوارتز، کلریت و کلریت
مراجع	این تحقیق		(Nezafati et al., 2006)		(بهزادی، ۱۳۷۳)

## نتیجه‌گیری

دگرسان کلریتی، باعث احیا شدن و تشکیل مس طبیعی ( $Cu^0$ ) به همراه زئولیت (دگرسانی زئولیت) شده است. همچنین لازم به ذکر است کانه‌زایی مس طبیعی، کوپریت و ملاکیت در واحد کنگلومراپی کانسار با سن پالوسن نیز دیده می‌شود. با توجه به نوع سنگ‌های میزان، دگرسانی‌ها و نوع کانه‌زایی، رخداد مس طبیعی در کانسار گرماب پایین بیشترین شباهت را با کانه‌زایی مس طبیعی مرتبط با سنگ‌های بازالتی (نوع میشیگان) دارد. قابل ذکر است که تشکیل مس طبیعی در کانسارهای سولفید توده‌ای معمولاً ناشی از فرایند سوپرژن می‌باشد ولی در کانسار گرماب پایین در واقع همراهی مس طبیعی با زئولیت، نشانه تشکیل آن در اثر سورابه‌های دیاژنزی بوده و تشکیل آن در پهنه سوپرژن در اثر هوازدگی و فرآیند سوپرژن را منتفی می‌سازد، که این ویژگی در کانسار گرماب پایین منحصر به فرد است.

## منابع

- بهزادی، م.، ۱۳۷۳. بررسی زمین‌شناسی اقتصادی اندیس مس قبله بولاغ واقع در منطقه طارم سفلی- استان زنجان. پایان‌نامه کارشناسی ارشد زمین‌شناسی اقتصادی، دانشکده علوم زمین دانشگاه شهید بهشتی.
- تقی‌زاده قوروی، س.، موسیوند، ف. و قاسمی، ح.، ۱۳۹۱. کانسار منگنز ذاکری، نمونه‌ای از کانه‌زایی منگنز نوع برووندمی در جنوب غرب سیزوار. سی و یکمین گردهماهی

مطالعات صحرایی و آزمایشگاهی صورت گرفته در این پژوهش نشان می‌دهند که کانه‌زایی مس طبیعی در کانسار گرماب پایین از نظر زمانی به صورت دیرزاد و جدا از کانه‌زایی سولفید توده‌ای بوده است. بر اساس مقایسه صورت گرفته با دیگر کانسارهای مشابه در جهان، شباهت زیادی با کانسار نوع میشیگان مشاهده می‌شود. از نظر کانی شناسی بیشترین سهم کانه‌زایی مربوط به تشکیل مس طبیعی، کوپریت و ملاکیت است. ساخت و بافت این رخداد کانه‌زایی به صورت رگه- رچه‌ای و دانه پراکنده در توالی آتشفسانی کانسار گرماب پایین دیده می‌شود. سنگ میزان این کانه‌زایی ترکی آندزیت و آندزیت بازالت با بافت بادامکی می‌باشد و عمدۀ دگرسانی‌ها شامل انواع کلریتی، زئولیتی و کلریتی است. مطالعات صورت گرفته نشان می‌دهد. دیاژنز و تدفین یا دگرگونی خفیف دفنی (در حد رخساره زئولیتی) بر روی توالی آتشفسانی- رسوبی منطقه معدنی موجب ایجاد سیال شورابه‌ای حوضه‌ای نسبتاً داغ گردیده که این سیال به دنبال بالا آمدگی وارد شکستگی‌ها و سنگ‌ها شده و با واکنش با سنگ‌های آتشفسانی موجب خارج شدن عنصر مس از درون شبکه سیلیکات‌ها و سپس حمل آن به صورت  $Cu^{2+}$  به بخش‌های بالایی (شامل سنگ‌های آتشفسانی کرتاسه پسین، برش‌های ولکانیکی و کنگلومراپی پالوسن) شده است. در ادامه، پایین بودن فشار گوگرد در سنگ‌های

- Michigan: a hybrid evolved meteoric and metamorphogenic model. *Journal of Economic Geology*, 101, 1437-1444.
- Bornhorst, T.J. and Barron R.J., 2013. Geologic Overview of the Keweenaw Peninsula, Michigan :Institute on Lake Superior Geology Proceedings. 59th Annual Meeting Houghton, MI, 59, part 1, 2-4.
  - Cabral, A.R. and Beaudoin, G., 2007. Volcanic red-bed copper mineralisation related to submarine basalt alteration, Mont Alexandre, Quebec Appalachians, Canada. *Journal of Mineral Deposit Research*, 42, 901-912.
  - Cornwall, H. R., 1956. A summary of ideas on the origin of native copper deposit. *Journal of Economic Geology*, 59, 615-631.
  - Gerdes, A. and Zeh, A., 2009. Zircon formation versus zircon alteration - New insights from combined U- Pb and Lu-Hf in- situ La-ICP- MS analyses of Archean zircons from the Limpopo Belt. *Journal of Chemical Geology*, 261, 230-243.
  - Guilbert, J.M. and Park, J.C.F., 1986. *The Geology of Ore Deposits*, W. H. Freeman, 985.
  - Kirkham, R.V., 1996. Volcanic red bed copper. *Geology Survey of Canada, Canadian mineral deposit types*, 8, 241- 252.
  - Lindenberg, H.G., Gorler, K. and Ib- beken, H., 1983. Stratigraphy, structur and orogenetic evolution of the Sabzevar zone the area of Oryan Khorasan, NE, Iran. *Geological Survey of Iran, Rep*, 51, 120-142.
  - Ramírez, L.E., Palacios, C., Townley, B., Parada, M.A., Sial, A.N., Fernandez- Tu- riel, J.L., Gimeno, D., Garcia- Valles, M. and Lehmann, B., 2006. The Mantos Blancos copper deposit: an upper Jurassic breccia-style hydrothermal system in the Coastal Range of Northern
- علوم زمین، سازمان زمین‌شناسی و اکتشافاتمعدنی کشور.
- شرکت زمین‌شناسی محکم کار، ۱۳۸۶. گزارش شرح عملیاتی مراحل پی‌جویی و اکتشاف کانسار مس گرماب پایین.
  - طاشی، م.، موسیوند، ف. و قاسمی، ح.، ۱۳۹۲. رخداد کانه‌زایی سولفید توده‌ای آتشفشاران زاد مس گرماب پایین-جنوب شرق شاهروд. سی و دومین همایش علوم زمین، سازمان زمین‌شناسی و اکتشافاتمعدنی کشور.
  - کهن‌سال، ر.، ۱۳۸۶. نقشه زمین‌شناسی ۱:۱۰۰۰۰۰۰ مری- اسبکشان، سازمان زمین‌شناسی و اکتشافاتمعدنی کشور.
  - مرادی، م.، بومردی، م.، جمشیدی، م.، عباس‌زاده، غ.، اسفروم، م. و پورچنگیز، ی.، ۱۳۹۰. بررسی کانه‌زایی مس خالص در عباس‌آباد، شمال-غرب قزوین. دومین همایش ملی انجمن زمین‌شناسی اقتصادی ایران، دانشگاه لرستان.
  - مغفوری، م.، راستاد، ا. و موسیوند، ف.، ۱۳۹۰. رخداد کانه‌زایی مس سولفید توده‌ای نوده در توالی آتشفشاران- رسوبی کرتاسه بالایی در جنوب غرب سبزوار. دومین همایش انجمن زمین‌شناسی اقتصادی ایران، دانشگاه لرستان.
  - مسعودی، م.، ۱۳۸۸. زمین‌شناسی، کانی‌شناسی، ژئوشیمی و ژئز کانسار منگنز بنسبرد در جنوب باختر سبزوار. پایان‌نامه کارشناسی ارشد، دانشگاه آزاد اسلامی واحد علوم تحقیقات تهران.
  - وطن پور، ح.، خاکزاد، ا. و قادری، م.، ۱۳۸۸. کاربرد عناصر گروه پلاتین (PGE) در اکتشاف و ارزیابی اقتصادی در کانسارهای کرومیت کمریند افیولیتی سبزوار. فصلنامه علمی- پژوهشی علوم زمین، سازمان زمین‌شناسی و اکتشافاتمعدنی کشور، ۷۱، ۹-۱۲.
  - ناصرالله‌ی، ع.، موسیوند، ف. و قاسمی، ح.، ۱۳۹۱. الگوی تشکیل کانسار منگنز نوده در توالی آتشفشاران- رسوبی کرتاسه بالایی، زیر پهنه سبزوار. سی و یکمین گردهمایی علوم زمین، سازمان زمین‌شناسی و اکتشافاتمعدنی کشور.
  - Agard, P., Jolivet, L., Vrielynck, B., Burrov, E. and Monie, P., 2007. Plat acceleration: the obduction trigge. *Earth and Planetary Science Letters*, 258, 428-441.
  - Brown, A.C., 2006. Genesis of native copper lodes in the Keweenaw district, northern

- Chile. *Journal of Mineral Deposit Research*, 41, 246-258 .
- Miyashiro, A., 1974. Nature of alkalic volcanic series. *Contributions to Mineralogy and Petrology*, 66, 91-110.
- Nezafati, N., Momenzadeh, M. and Pernicka, E., 2006. Darhand copper occurrence: An example of Michigan-type native copper deposits in central Iran. *Journal of Mineral Deposit Research: Meeting the Global Challenge*, 165-167.
- Pearce, J.A. and Parkinson, I.J., 1996. Trace element models for mantle melting: application to volcanic arc petrogenesis. In: Prichard, H.M., Albaster, T., Harris, N.B.W., Neary, C.R. (Editors.), *Magmatic Processes in Plate Tectonics*. Geological Society of London, Special Publication, 373-403.
- Rossetti, F., Nasrabad, M., Vignaroli, G., Theye, T., Gerdes, A., Razavi, M. and Moin Vaziri, H., 2010. Early Cretaceous migmatitic mafic granulites from the Sabzevar range (NE Iran): implications for the closure of the Mesozoic peri-Tethyan oceans in central Iran. *Journal of Terra Nova*, 22, 26-34.
- Saunders, A.D. and Tarney, J., 1991. Back arc basins. In: Floyd, P.A. (Editor), *Oceanic Bassalts*. Blackie and Son Ltd, 219- 263.
- Sillitoe, R.H., 1977. Metallic mineralization affiliated to sub-aerial volcanism. A review, Geological Society of London, Special Publication, 7, 99-116.
- Tashi, M., Mousivand, F. and Ghasemi, H., 2014. Volcanogenic massive sulfide Cu-Ag mineralization in the Kharturan area, southeast of Shahrood. 1th International Workshop on Tethyan Orogenesis and Metallogeny in Asia and Silk Road Higher Education Cooperation Forum, China University of Geosciences (Wuhan), Wuhan, China.
- Wang, C.Y., Zhou, M.F., Qi, L., Hou, S., Gao, H., Zhang, Z. and Malpas, J., 2006. The Zhaotong native copper deposit associated with the Permian Emeishan flood basalts, Yunnan, southwest China. *International Geology Review*, 48, 742-753.